

九州大学 工学部 正会員 内田一郎

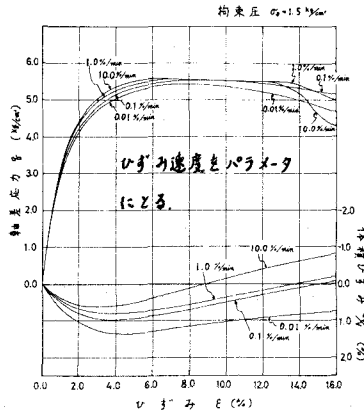
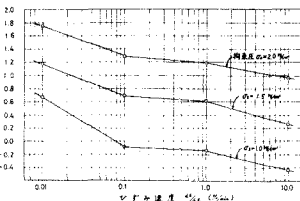
九州大学 工学部 正会員 林重徳

九州大学 工学部 学生員 ○栗安直人

1 緒言 実験室では、ひずみ速度が一定のせん断試験が広く行なわれているのであるが、現場での破壊はひずみ速度は一定でなく、クリープのようにひずみ速度より遅いものから、地震による破壊のようにひずみ速度の速いものまで様々である。土の種類・状態に大きく依存するのであるが、これらのがひずみ速度の違いはせん断強度にかなり影響を与えることが知られる¹⁾。通常ひずみ速度で得られたせん断強度に比べて、40~80%に減少したという結果を報告されている。現場での破壊のひずみ速度は様々であり、実験室と現場とのギャップを埋める意味でひずみ速度の影響を解明することが必要である。ひずみ速度の影響と研究した文献もかなり見受けられるのであるが、その及ぼす影響は広く、まだ研究の余地がありそうだ。

2 試料及び実験方法 試料としては、ミサ土 ($\gamma_s = 2.714$, 植土分 73%, L.L. = 36.0%, P.L. = 35.9%, P.I. = 11%) を用いた。供試体は JIS 1210 で規定されたたの締固め試験方法で得られたミサ土の最適含水比 14.5% になるように最低 48 時間ビニール袋で密封養生した試料を、その試験方法に記載されたエネルギー量を与えすべくエネルギー規制法で締固めた。その結果、乾燥密度 (JIS 1210 によって得たミサ土の最大乾燥密度は 1.897 kg/cm^3) は 1.730 kg/cm^3 付近に立ち止ったが、ほぼ均一であった。供試体の寸法は直径 5.0 cm, 高さ 12.0 cm である。試験機は、ひずみ速度の精度をきりため応カーリングの代りにロードセルを取り付けた三軸圧縮試験機を用い、0.01, 0.1, 1.0, 10.0 %/min の 4 種類のひずみ速度で、拘束圧を 1.0, 1.5, 2.0 kg/cm^2 に変えて実験した。試験は以下の試験としたが、不飽和なので(供試体作製時の飽和度 69.5%) 気相の体積減少、また気相の一部が液相に溶け込むことによる土骨格の圧縮があり、これとひずみ速度によって異なるせん断時の圧縮を区別するために、せん断前に 5 時間規定の側圧をかけ圧縮した。

3 実験結果及び考察 図-1 は拘束圧が 1.5 kg/cm^2 のときの全応力表示による軸差応力へひずみ～体積ひずみの関係を示したものである。この図からひずみ速度(剪定)による明瞭な違いは、体積ひずみに現われていることがわかるであろう。図-2 は破壊時の体積ひずみへひずみ速度の関係を示したものである。ひずみ速度の違い程、体積減少が大きくなり密度の増大するところがわかる。これはひずみ速度が遅い為に、供試体内の気・液相の移動がスムーズに行なわれ、土骨格が供試全体にわたって一様に圧縮されるためであると考える。ひずみ速度が 0.1 ~ 0.01 %/min の間で圧縮量が大きくなるのは、気・液体の土骨格に対する透水(気)係数に關係するものと考えることができる、間隙キューを正確に計測するためのひずみ速度の上限はこの範囲にあるものと考えることができます。また、0.01 %/min 以下のひずみ速度ではさらに圧縮量は増大する確実であるが、このことは、たゞ気・液相がスムーズに移動し得ても、土骨格の変形のしやすさはその移動にも勿論關係するのであるが、別次元の問題である。

図-1 $\delta \sim \epsilon \sim \Delta V/V$ 曲線図-2 $(\Delta V/V)_f \sim \dot{\epsilon}$ 曲線

ことを示している。ちなみに、低ひずみ速度の場合は特に、気・液相の移動のみでひずみ速度の影響を論じにくることはできない。

等方・等負の弾性体に軸差応力 σ_{ax} をかけたとき、その全てがセン断に作用するのではなく、その $1/3$ は等方圧縮の作用に使われるところが知られている。低ひずみ速度では気・液相のスムーズな移動と拘束圧の影響も加わり、軸差応力の圧縮作用の割合が大きくなると考えられる。これは低ひずみ速度では土粒子の移動が容易な為に、土粒子間に別な土粒子が埋まることにより圧縮が進行するものと考えられるからである。逆に、ひずみ速度が速い場合は気・液相の移動が停滞することを加わって土粒子は移動しにくく、軸差応力の圧縮への作用は小さく、セン断への作用が大きくなると考える。その結果、低ひずみ速度の場合に比べてひずみが小さいときにダイレクトなるようになり、且つその量を大きくなるものと考えられる。図-1でひずみ速度が速い程、ダイレイタンシー指数(D.I.)が0であるところのひずみが小さく上述したことが裏付けられる。図-3は破壊時のD.I.～ $d\sigma/d\varepsilon$ の関係を示したものである。概してひずみ速度の速い程D.I.が大きく、低ひずみ速度の場合に比べてダイレイタンシーが増加に陥っていることがわかる。

こゝには国示していないが、ひずみ速度が速くなる程初期接線係数は大きくなっている。また、図-1に示すとへと曲線は弾塑性体のそれによく似ており、 $\varepsilon = 1.5 \sim 2.0 \%$ あたりを弾性領域である過圧密状態とみなすことができるならば、こゝには国示していないが、ひずみ速度の速い程、 $\varepsilon \sim \ln \sigma$ (ε :間隙比比、P:平均主応力)曲線上の勾配は急になつてあり弾性係数が大きくなるといふことができる。これはRoscoe他の提唱する応力～ひずみ式の定数の1つであるがひずみ速度の関数にならうといふことであり興味深い。

モールの破壊包絡線より求めた摩擦角・粘着力～ $d\sigma/d\varepsilon$ の関係を図-4～5に示す。これらの図より、ひずみ速度が速くなる程摩擦角は大きくなり、逆にひずみ速度の速い程粘着力が大きくなっていることがわかる。ひずみ速度が速いと体積圧縮量が大きく密度が大きくなること、また土粒子は変形しやすいためにセン断領域上で土粒子の動員率が大きくなり、その結果摩擦角が大きくなっているように考えろ。この場合変形が気・液相の移動に比べてゆきり行なわれるので部分間隙比の問題は考慮する必要がなくなる。これに比べて、ひずみ速度の速い場合は体積圧縮量を小さく土粒子を移動しにくく為土粒子の動員率が小さく從つて摩擦角は小さくなる。またセン断領域に気・液相の移動に比べて急激に負圧が生じ、部分間隙比の問題が生じる。この負圧は土粒子を相互に強く押し合つことによる摩擦の効果を高めるよりも、マサ土のようにもろい土粒子は点接触による膨大な圧力により粒子破碎を伴ないながら、粘着力が部分的に寄与する効果を大きくするといふことができる。図-4・5よりわざるようひずみ速度が0.1～0.01%/minの間で粘着力及び摩擦角度の差が大きいことは、透水(氣)係数に依存する気・液相の移動のしやすさにより、土骨格の変形に差がでるためである。ひずみ速度による粘着力と摩擦角の大きさの逆転は、あるひずみを境としてそれより速くても遅くともセン断強度が増加するこことを意味する。たとえば、繰り返し不飽和土の通常のセン断強度より少しある荷重でのクリープ試験では、時間の経過と共にクリープが止まるという現象はこのことと関係がある。

- 文献
- 1) D.W. Taylor: Fundamental of Soil Mechanics PP.377～378
 - 2) A.Casagrande & S.D.Wilson (1951) Effect of Rate of Loading on the Strength of Clays and Shales at Constant Water Content, Geotechnique, Vol.2, No.4, PP.251～264
 - 3) 東井清一他: 鮑和粒土のセン断に及ぼす間隙水圧の影響について、土木学会論文集 No.85, 昭和37年9月 PP.1～6

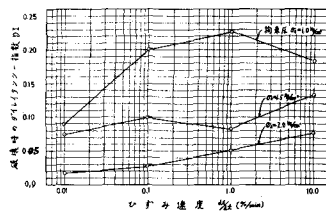


図-3 D.I.～ $d\sigma/d\varepsilon$ 曲線

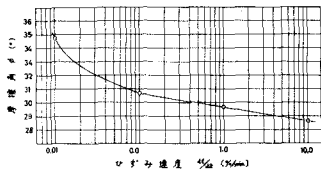


図-4 φ～ $d\sigma/d\varepsilon$ 曲線

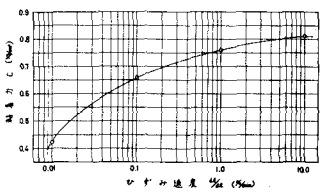


図-5 C～ $d\sigma/d\varepsilon$ 曲線